электронный журнал

МОЛОДЕЖНЫЙ НАУЧНО-ТЕХНИЧЕСКИЙ ВЕСТНИК

Издатель ФГБОУ ВПО "МГТУ им. Н.Э. Баумана". Эл No. ФС77-51038.

УДК 681.391

Исследование помехоустойчивости турбо-кодов

Кондаков А.В., студент Россия, 105005, г. Москва, МГТУ им. Н.Э. Баумана кафедра «Радиоэлектронные системы и устройства»

Научный руководитель: Ахияров В.В., к.т.н, доцент кафедры «Радиоэлектронные системы и устройства» Россия, 105005, г. Москва, МГТУ им. Н.Э. Баумана rl1@bmstu.ru

Основной характеристикой при оценке эффективности помехоустойчивых кодов является отношение энергии бита к спектральной плотности мощности шума E_b/N_0 при требуемой вероятности ошибки декодирования бита. В современных системах связи типичным требованием к качеству декодирования или вероятности ошибки на бит (Bit $Error\ Rate\ -\ BER$), является величина $BER=10^{-5}\dots 10^{-7}$.

В работе [1] было показано, что с использованием турбо-кода возможно получение $BER=10^{-5}$ при $E_b/N_0=0.7$ дБ в канале с аддитивным белым гауссовым шумом (АБГШ) при скорости кодирования BER=1/2 и двоичной фазовой манипуляции (Binary Frequency Shift Keying - BPSK), что очень близко к пределу Шеннона:

$$C = \Delta f \log_2(1 + SNR)$$

где C – пропускная способность канала;

 Δf – полоса частот системы;

SNR – отношение мощности сигнала к мощности шума.

Турбо-кодирование основано на трех фундаментальных идеях: построение кодов с кодовыми словами, обладающими квазислучайными свойствами; построение декодеров, основанных на легко реализуемых алгоритмах итеративного декодирования и применение вероятностных решений при декодировании, называемых мягкими решениями. Под итеративным понимают декодирование, при котором происходит последовательная передача мягких решений от первого декодера ко второму и обратно. Итеративное декодирование основано на связи между мягкими выходами декодеров сверточных кодов,

специальным кодированием и информационными методами передачи, что позволило создать новую мощную технику декодирования и привело к появлению турбо-кодов.

Есть две важные категории алгоритмов с мягкими решениями, которые основаны на алгоритме максимального правдоподобия. В первом случае минимизируется вероятность ошибки символа, как максимума апостериорной вероятности (такой алгоритм называется *Махітит а Posteriori* или *МАР-алгоритм*). Ко второй группе относятся алгоритмы, минимизирующие вероятность ошибки слова или последовательности. Это хорошо известный алгоритм Витерби или мягкий выход алгоритма Витерби (*Soft Output Viterbi Algorithm*).

Определение турбо-кода дано впервые в [2]. В настоящее время турбо-коды развиваются по двум альтернативным направлениям — это "сверточные" турбо-коды (*Turbo Convolutional Codes*), появившиеся исторически первыми [1], и турбо-коды произведения на основе блочных кодов (*Turbo Product Codes*) [2]. Оба класса кодов характеризуются итеративными алгоритмами декодирования и мягкими решениями на входе и выходе каждой итерации. В работе рассматриваются турбо-коды на основе сверточных кодов и алгоритма декодирования МАР.

Наиболее распространенная схема турбо-кодера состоит из двух одинаковых сверточных кодеров, между которыми находится блок перемежителя. Каждый сверточный кодер добавляет к информационной последовательности проверочную группу.

Турбо-код использует алгоритм — "мягкий вход — мягкий выход" (Soft Input — Soft Оитрит). Мягкий выход первого декодера дает вещественное число, которое является мерой вероятности ошибки при декодировании информационного бита. Эта дополнительная информация поступает на мягкий вход второго декодера и используется при декодировании. Второй декодер также обеспечивает мягкие решения, необходимые следующей итерации в процессе декодирования. Для гауссова ДЛЯ восьмиуровневое квантование мягких решений, по сравнению с двухуровневым, приводит в результате к улучшению отношения сигнал/шум на 2 дБ при той же вероятности появления ошибочного бита [3].

На рис.1 и рис.2 представлены структурные схемы каналов связи с использованием турбо-кодов, разработанные в программе Simulink среды Maltab [4, 5]. При проведении расчетов использовались как модели Simulink, так и программы (m-файлы). Исследования проводились по методу Монте-Карло, который заключается в усреднении результатов достаточно большого числа реализаций эксперимента.

Структуру на рис. 1 называют последовательным каскадным сверточным кодом (Serial Concatenated Convolution al Code — SCCC). В данной схеме выходные биты первого кодирующего устройства после перемежителя повторно кодируются во втором сверточном кодере. Другая схема, представленная на рис. 2, называется параллельным каскадным сверточным кодом (Parallel Concatenated Convolution al Code — PCCC), так как один и тот же информационный поток параллельно кодируется дважды.

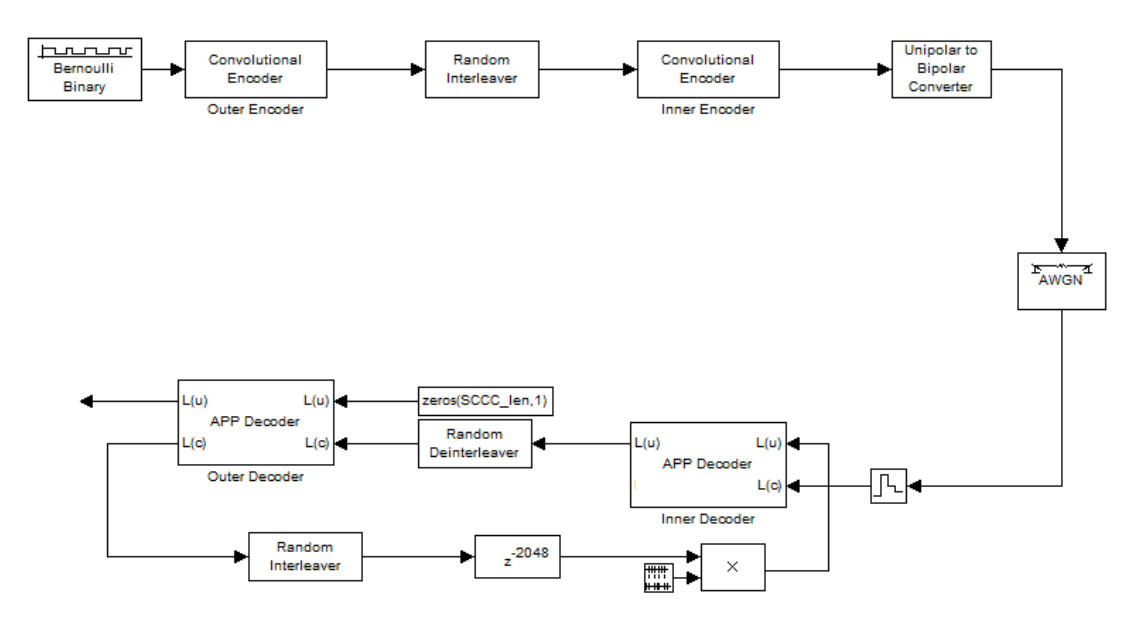


Рис. 1. Структурная схема системы связи с использованием *SCCC* турбо-кодов

В данной работе приведены результаты исследования помехоустойчивости схем турбо-кодов с последовательным и параллельным соединением сверточных кодов в канале с АБГШ и ВРЅК модуляцией при различном количестве итераций и различной длине информационной последовательности. Также рассматриваются схемы с различными образующими полиномами сверточных кодов. Исследование начнем с турбо-кодов, построенных по схеме *SCCC* (см. рис. 1).

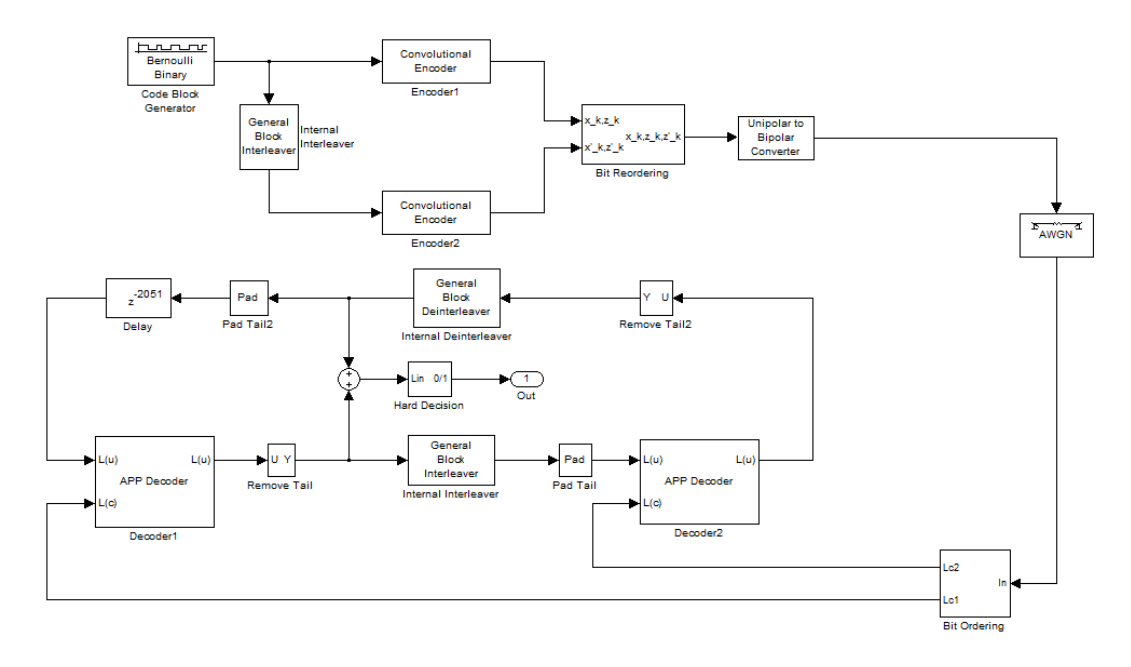


Рис. 2. Структурная схема системы связи с использованием РССС турбо-кодов

Кодеры сверточных кодов в данной схеме задаются полиномом $G=(3,\ [7\ 5],\ 0)^1.$ На рис. 3 представлены зависимости BER от E_b/N_0 , полученные методом Монте — Карло (длина информационного блока L=1024, количество реализаций при усреднении — 10^4). Длина блока перемежителя совпадает с длиной информационной последовательности, скорость кода R=1/3.

числа увеличение итераций при декодировании Видно. улучшает помехоустойчивость. С увеличением числа итераций энергетический выигрыш уменьшается. Представленные кривые иллюстрируют интересную особенность турбокодов. Видно, что кривые вероятности ошибки декодирования имеют область, где их наклон резко уменьшается. Данная область называется этажом ошибки (в англоязычной литературе - error floor). При этом вероятность ошибки продолжает снижаться, но с гораздо меньшей скоростью, поэтому для достижения значений ошибки $10^{-8}...10^{-9}$ необходимы значительные энергетические затраты. Это объясняется относительно малым минимальным кодовым расстоянием турбо-кодов, которое начинает доминировать при средних и больших значениях отношения E_b/N_0 [5].

1-B полиноме сверточного кода $G=(K, [b\ c]\ d)$ используются обозначения: K- длина кодового ограничения; b, c - числа, которые определяют выходные соединения для каждой входной информационной последовательности; d - определяет соединения обратной связи для входных последовательностей.

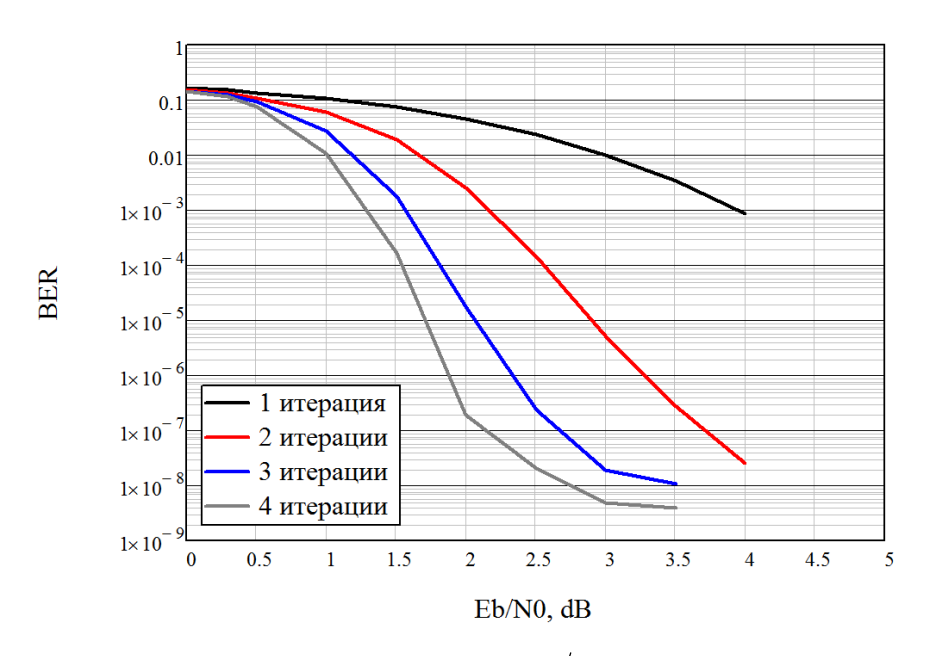


Рис. 3. Кривые зависимости \emph{BER} от $E_b/N_0\,$ для \emph{SCCC} структуры

Далее показаны результаты моделирования схемы *РССС* с параллельным соединением сверточных кодов (см. рис. 2).

На рис. 4 приведены результаты расчетов BER для турбо-кода со скоростью R=1/3 и образующим полиномом сверточных кодов $G=(3,[7\ 5],0)$ при использовании различного числа итераций и различной длины информационной последовательности.

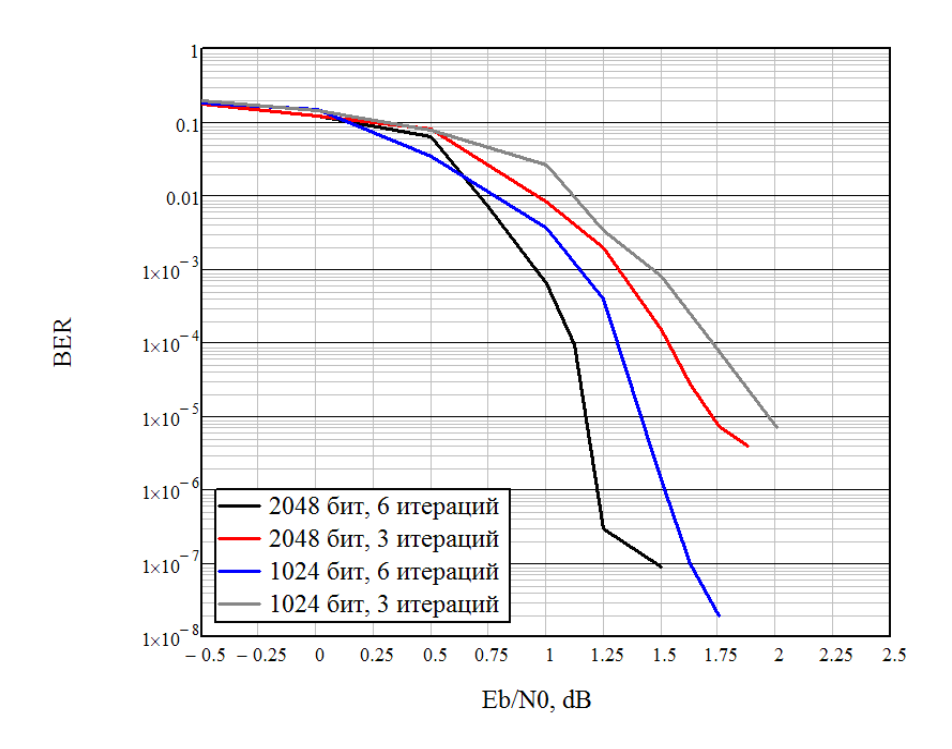


Рис. 4. Графики зависимости BER от $\left.E_b/N_0\right.$

Из графиков видно, что при увеличении числа итераций помехоустойчивость кода значительно улучшается, особенно в области значений $E_b/N_0\approx 1,5\,$ дБ. Также следует отметить, что применение информационных сообщений длиной $L=1024\,$ бита и шести итераций дает энергетический выигрыш порядка 0,35 дБ при $BER=10^{-5}$ по сравнению с $L=2048\,$ бит и тремя итерациями. Однако, для декодирования одинакового объема информации в первом случае понадобится в 1,5-2,5 раза больше времени.

На рис. 5 приведена зависимость BER от E_b/N_0 при различных схемах формирования сверточных кодов, входящих в состав турбо-кодов. Схемы отличаются длиной кодового ограничения, выходными соединениями и обратными связями. Очевидно, что увеличение длины кодового ограничения приводит к усложнению всей системы.

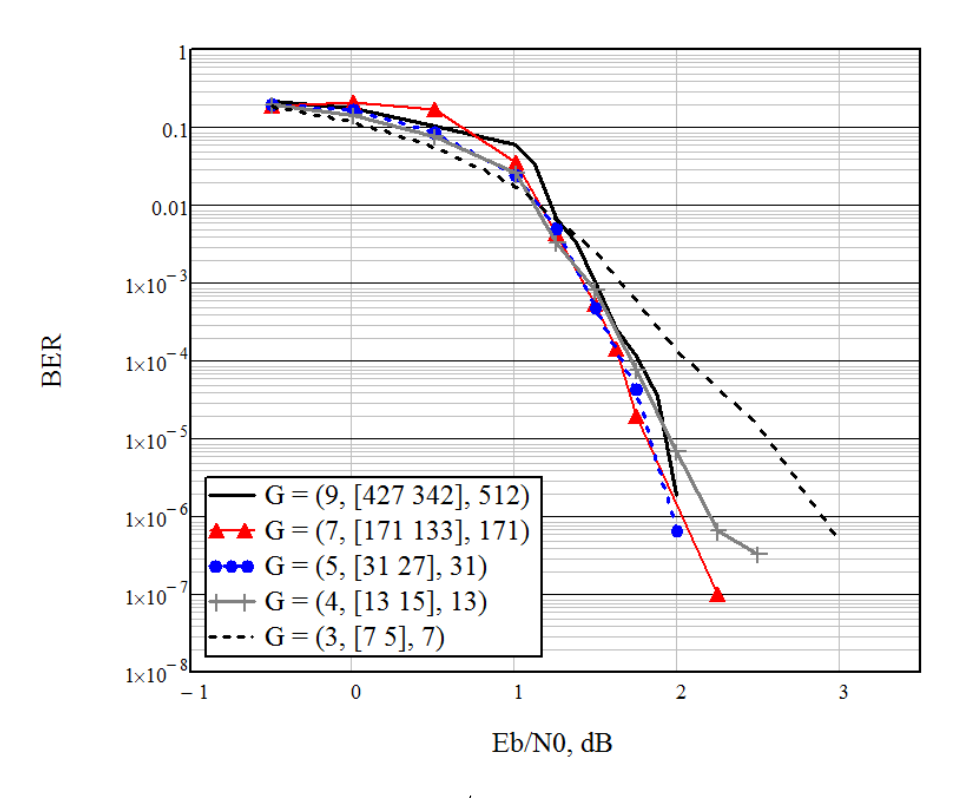


Рис. 5. Графики зависимости BER от E_b/N_0 для различных схем сверточных кодов, образующих турбо-код

Как видно из результатов, представленных на рис. 5, усложнение схемы сверточного кодера, образующего турбо-код, улучшает помехоустойчивость. Однако применение схем с длиной кодового ограничения K > 5 не дает значительного выигрыша и их применение нецелесообразно из-за усложнения кодека.

Результаты, представленные на рис. 3...5, были получены путем вычисления отношения правдоподобия с использованием МАР-алгоритма [3], что требовало

значительных временных затрат (до 10 часов на компьютере с тактовой частотой процессора 2,4 ГГц). Для увеличения скорости расчетов можно использовать не отношение правдоподобия, а его аппроксимации MAX и MAX^* , представленные в работе [6]. Результаты расчетов для турбо-кода с длиной информационной последовательности L=1024 бита и тремя итерациями с использованием данных аппроксимаций показаны на рис. 6.

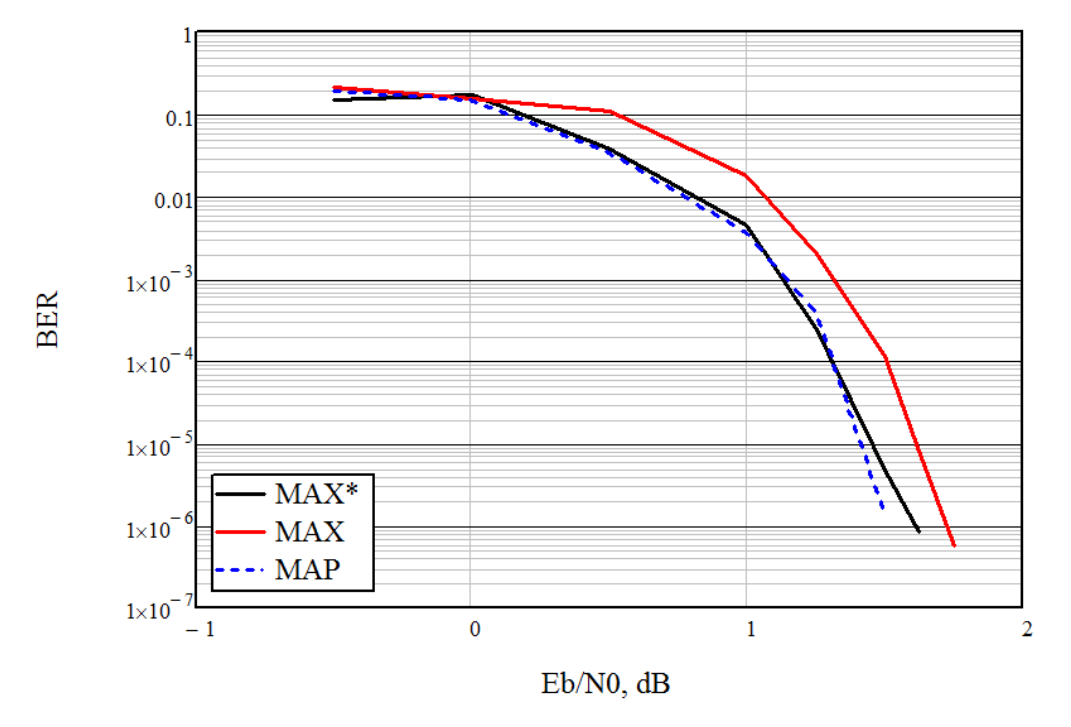


Рис. 6. График зависимости BER от E_b/N_0 при различных способах аппроксимации отношения правдоподобия

Видно, что результаты расчетов с использованием алгоритмов MAP и MAX^* практически идентичны, однако применение метода аппроксимации MAX^* требует значительно меньших вычислительных затрат.

Сравнивая результаты моделирования турбо-кодов, можно сделать следующие выводы:

- анализ результатов, представленных на рис. 3. и рис. 4 показывает, что схемы с параллельным соединением сверточных кодов лучше, чем с последовательным соединением при низком отношении E_b/N_0 , при увеличении E_b/N_0 последовательные схемы выигрывают у параллельных. Отметим, что аналогичные результаты были приведены в работе [7]: последовательное соединение сверточных кодов обеспечивает энергетический выигрыш 2 дБ для $BER=10^{-11}$ по сравнению с парралельным соединением.

- при анализе турбо-кодов помимо основных характеристик (BER, E_b/N_0 , $C/\Delta f$), необходимо учитывать время декодирования и сложность технической реализации кодека; - МАР алгоритм значительно превосходит остальные по сложности и времени вычислений, однако дает наиболее точные результаты. Поэтому данный алгоритм может использоваться для оценки потенциальной помехоустойчивости турбо-кодов и анализа

Список литературы

эффективности других алгоритмов декодирования.

- 1. Витерби А. Границы ошибок для сверточных кодов и асимптотически оптимальный алгоритм декодирования // Некоторые вопросы теории кодирования: сб. переводов. М.: Мир, 1970. С. 142-165.
- 2. Berrou C., Glavieux A., Thitimajshima P. Near Shannon limit error-correcting coding and decoding: turbo-codes // IEEE International Conference on Communication. Geneva, 1993, Vol. 2. P. 1064–1070.
- 3. Васильев В. И., Хоанг Тху Ха Турбокод основные характеристики, особенности применения и моделирования // ВЕСТНИК ВГУ. Серия: Физика, математика. 2004. № 2. С. 8–15.
- 4. Serial Concatenated Convolutional Code. Available at: http://www.mathworks.com/help/comm/ug/iterative-decoding-of-a-serially-concatenated-convolutional-code.html?nocookie=true (accessed 5.03.2015).
- 5. Parallel Concatenated Convolutional Coding: Turbo Codes. Available at: http://www.mathworks.com/help/comm/examples/parallel-concatenated-convolutional-coding-turbo-codes.html (accessed 5.03.2015).
- Benedetto S., Montorsi G., Divsalar D., Pollara F. Soft-Input Soft-Output Maximum A
 Posteriori (MAP) Module to Decode Parallel and Serial Concatenated Code // TDA
 Progress Report 42-127, Jet Propulsion Laboratory, Pasadena, California, 1996. Nov. P. 120.
- 7. Ташатов Н.Н., Ефимов Д.А. Устройство кодера и декодера турбо-кода. Режим доступа: http://repository.enu.kz/bitstream/handle/123456789/4832/ustroisvo_kodera.pdf (дата обращения 5.03.2015).